

# 1 Mappe di concentrazione.

Lista completa delle mappe di concentrazione di NO<sub>2</sub>, PM10 e PM2.5.



1) Stato attuale (2009)



2) Scenario programmatico (2015)



3) Scenario progettuale (2015)

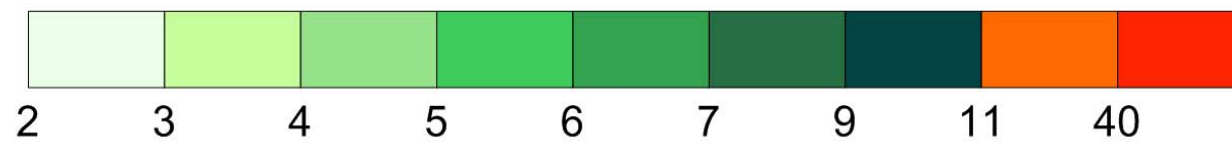


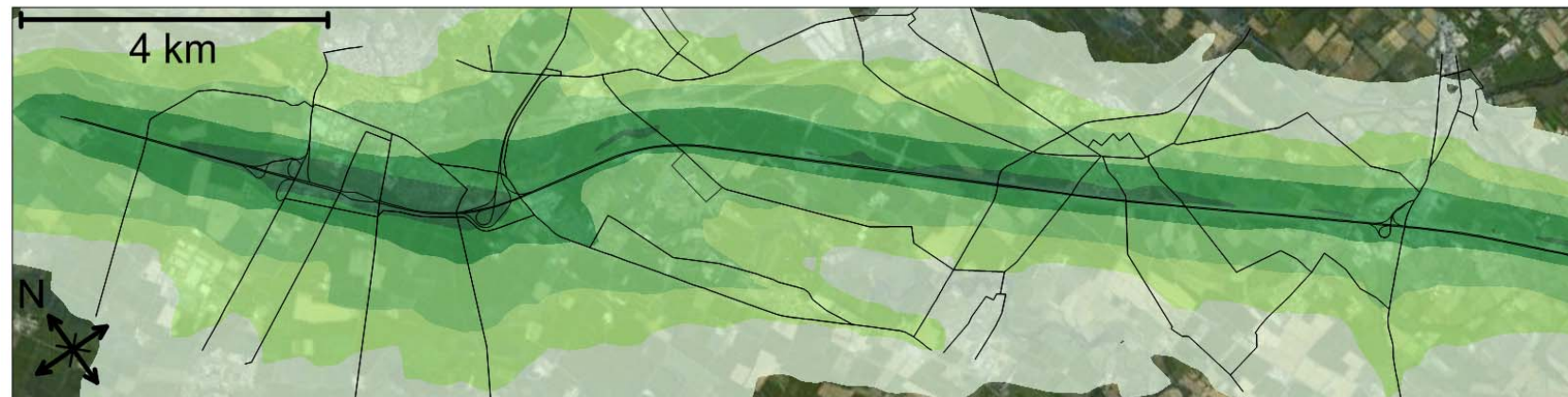
Figura 1: media annuale della concentrazione di NO<sub>2</sub>, valori in [µg/m<sup>3</sup>].



1) Stato attuale (2009)



2) Scenario programmatico (2015)



3) Scenario progettuale (2015)



20 25 30 40 50 60 70 200

Figura 2: 99.8° percentile della concentrazione oraria di NO<sub>2</sub>, valori in [µg/m<sup>3</sup>].



1) Stato attuale (2009)



2) Scenario programmatico (2015)



3) Scenario progettuale (2015)

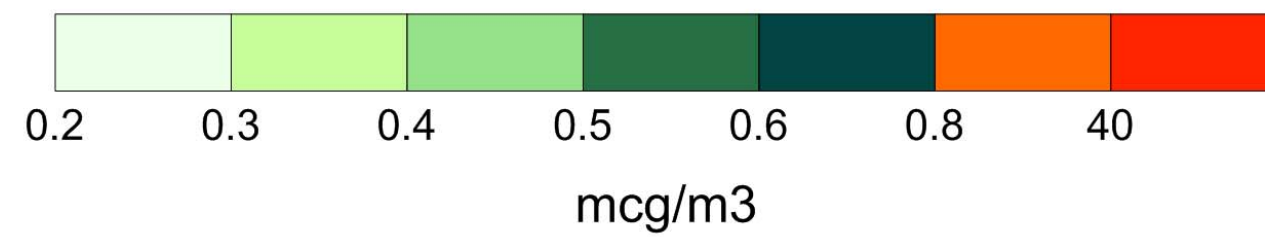


Figura 3: Media annuale della concentrazione di PM10, valori in [ $\mu\text{g}/\text{m}^3$ ].



1) Stato attuale (2009)



2) Scenario programmatico (2015)



3) Scenario progettuale (2015)

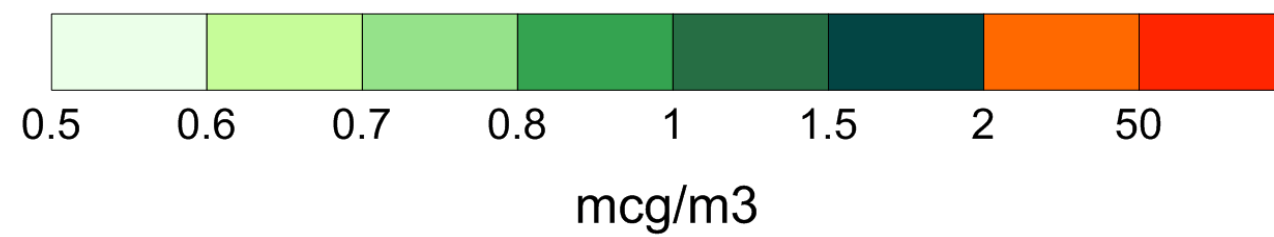


Figura 4: 90.4° percentile delle medie giornaliere di PM10, valori in [ $\mu\text{g}/\text{m}^3$ ].



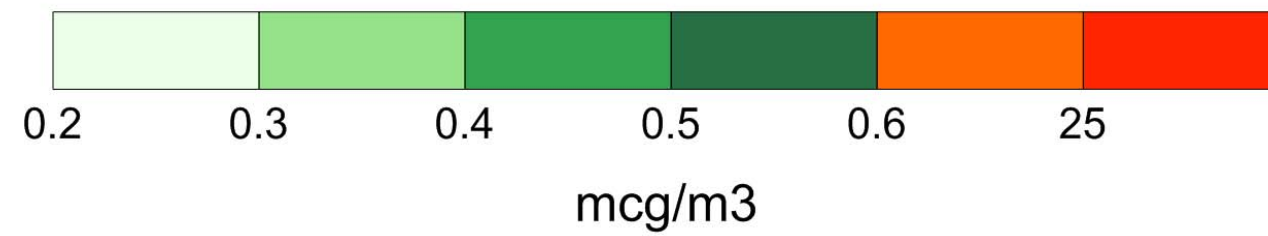
1) Stato attuale (2009)



2) Scenario programmatico (2015)



3) Scenario progettuale (2015)



**Figura 5: Media annuale delle concentrazioni giornaliere di PM2.5, valori in [ $\mu\text{g}/\text{m}^3$ ].**

1) stato attuale; 2) scenario programmatico 2015; 3) scenario progettuale 2015

1.1 Confronto Scenario Progettuale 2015 – Scenario Attuale

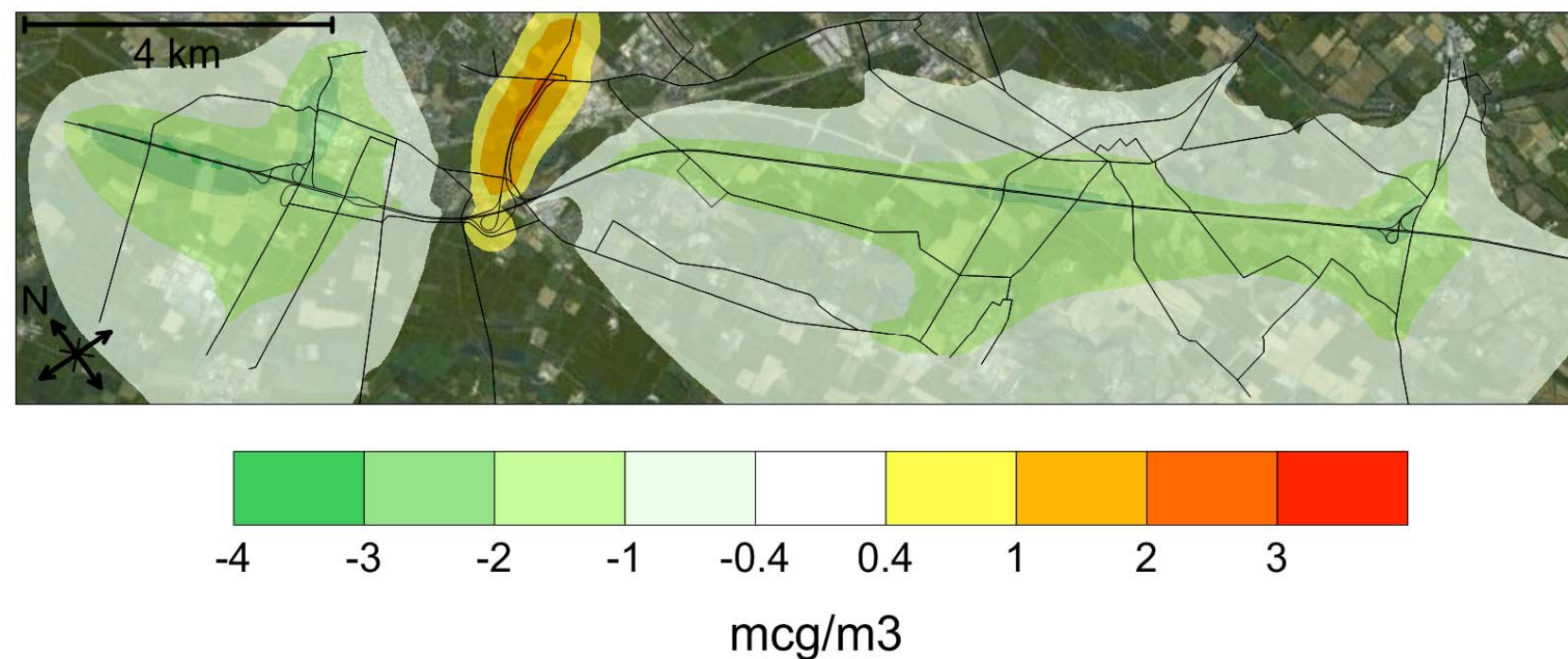


Figura 6: Differenza tra lo scenario progettuale 2015 e lo scenario attuale della, concentrazione media annuale di NO<sub>2</sub>, valori in [ $\mu\text{g}/\text{m}^3$ ].

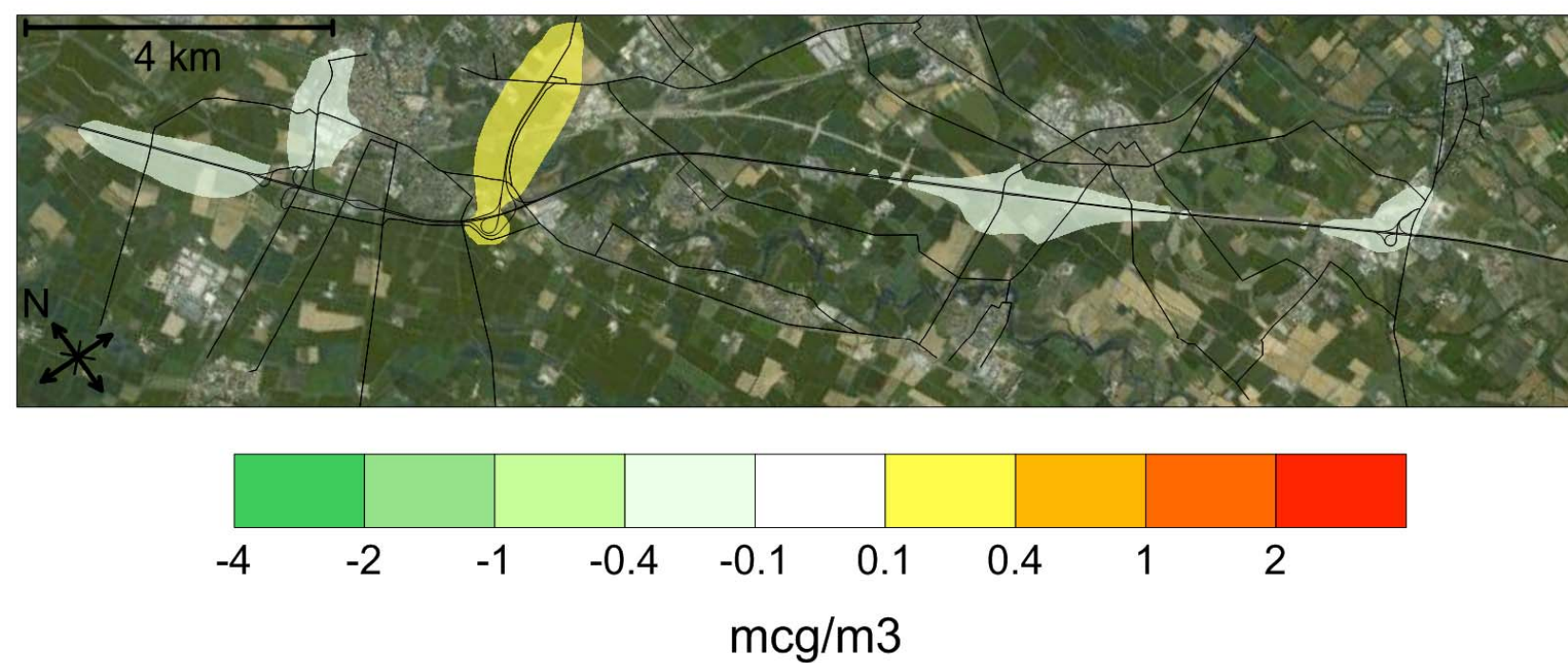


Figura 7: Differenza tra lo scenario progettuale 2015 e lo scenario attuale della concentrazione media annuale di PM<sub>10</sub>, valori in [ $\mu\text{g}/\text{m}^3$ ].

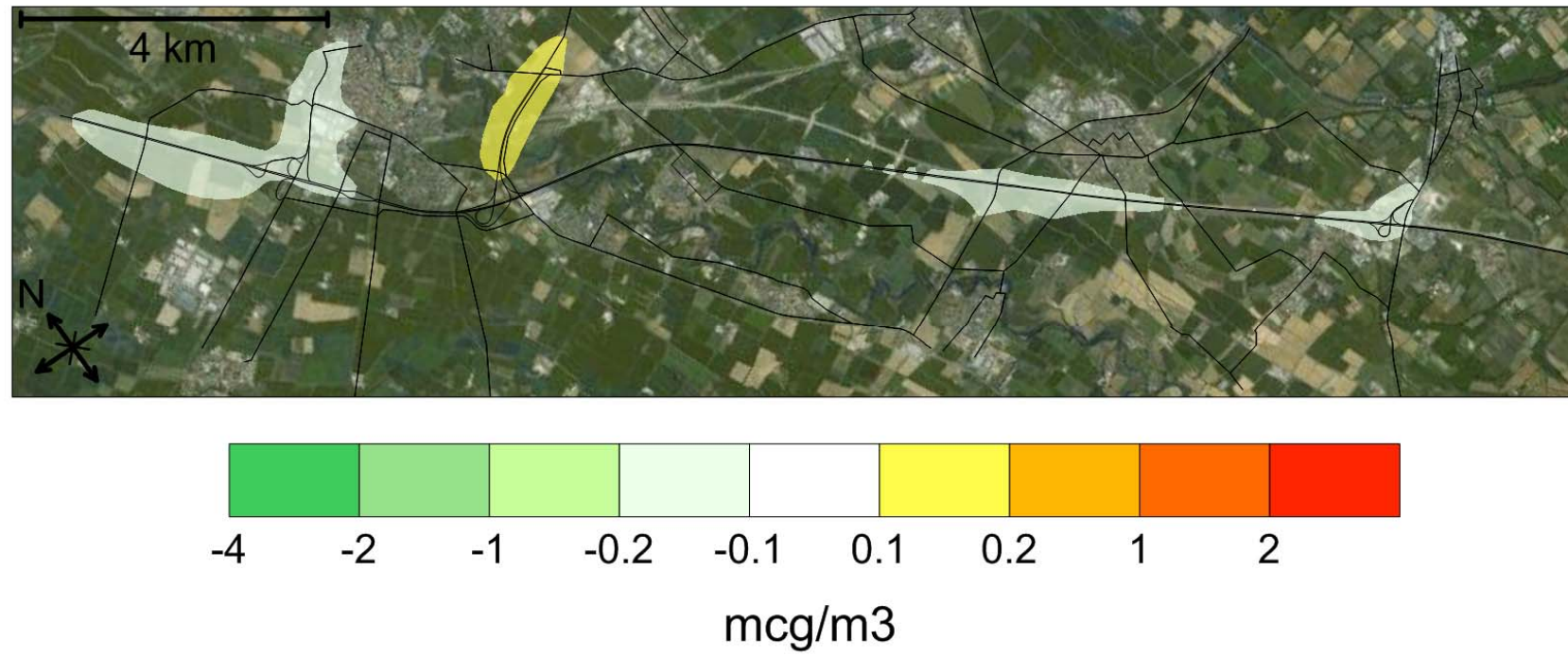


Figura 8: Differenza tra lo scenario progettuale 2015 e lo scenario attuale della concentrazione media annuale di PM2.5, valori in [ $\mu\text{g}/\text{m}^3$ ].

1.2 Confronto Scenario Progettuale 2015 – Scenario Programmatico 2015

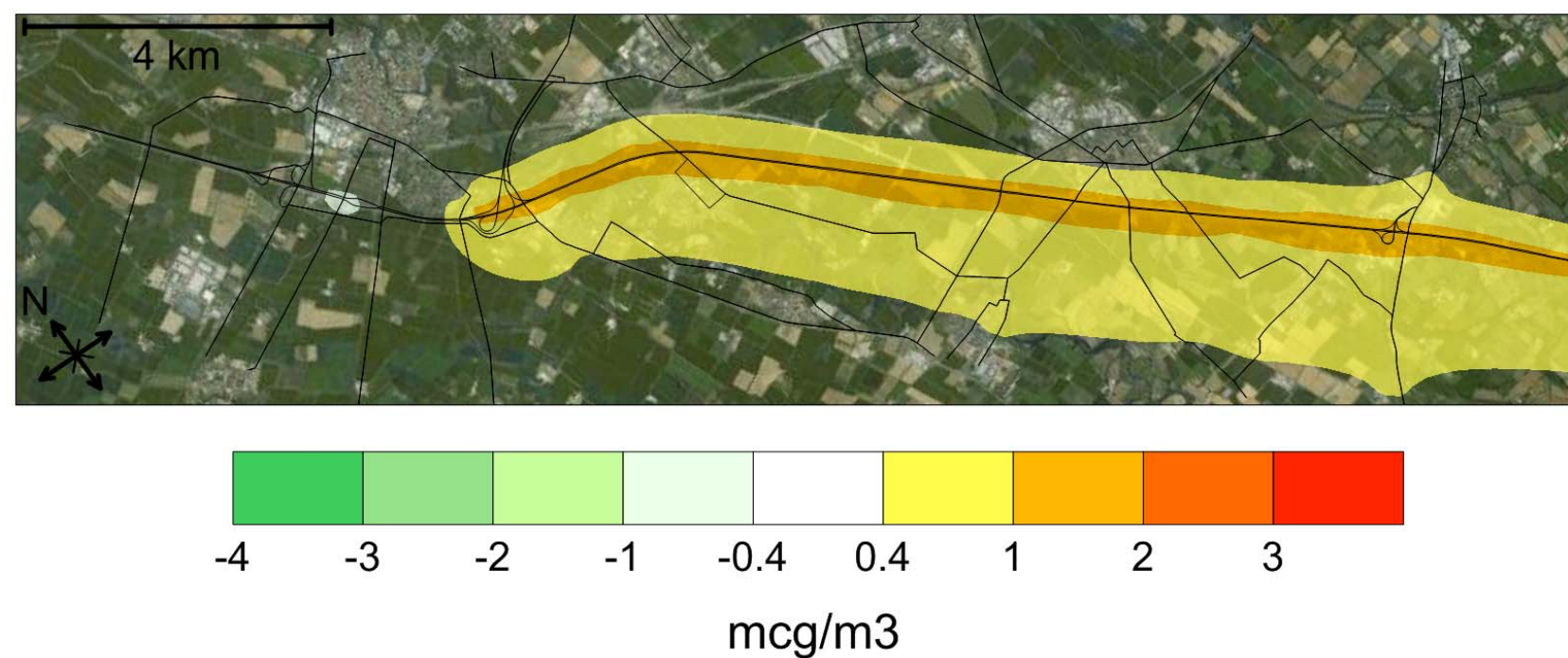


Figura 9: Differenza tra lo scenario progettuale 2015 e lo scenario programmatico 2015 della concentrazione media annuale di NO<sub>2</sub>, valori in [μg/m<sup>3</sup>].

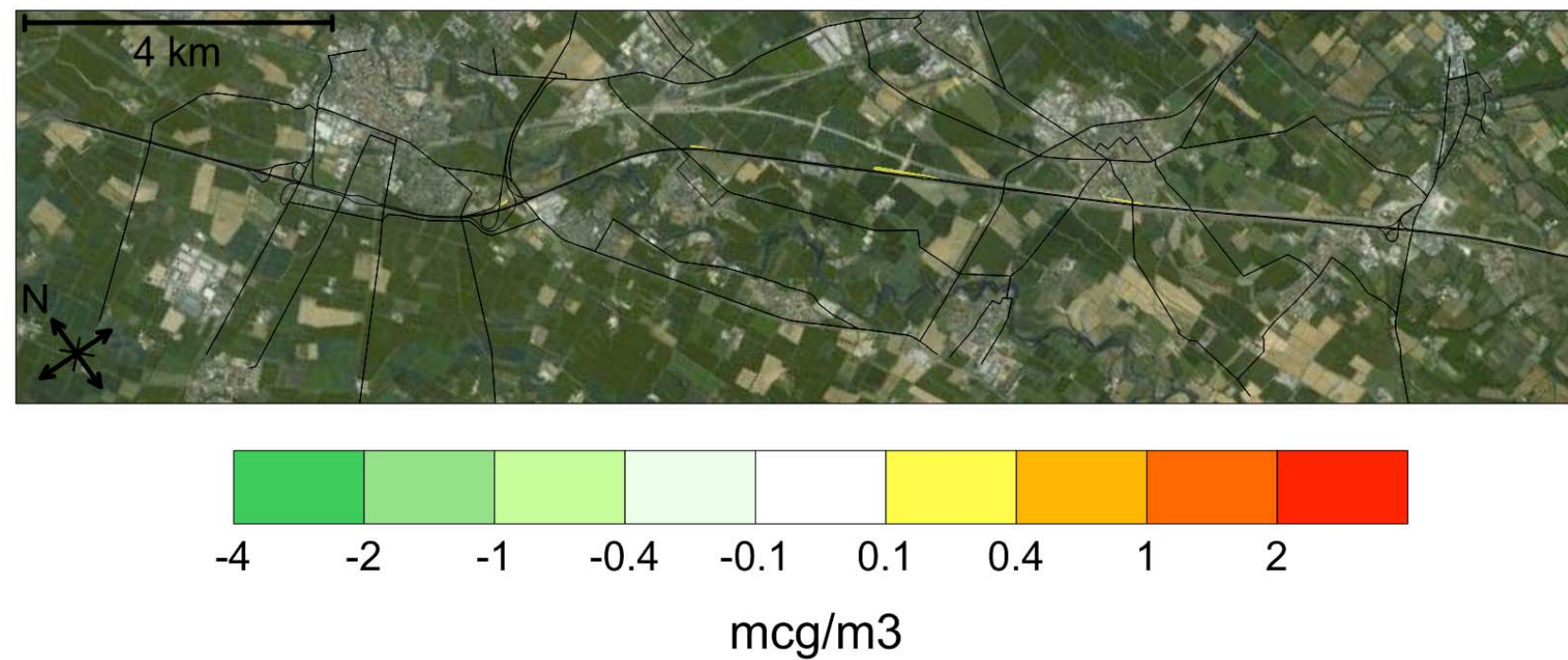


Figura 10: Differenza tra lo scenario progettuale 2015 e lo scenario programmatico 2015, della concentrazione media annuale di PM10, valori in [μg/m<sup>3</sup>].

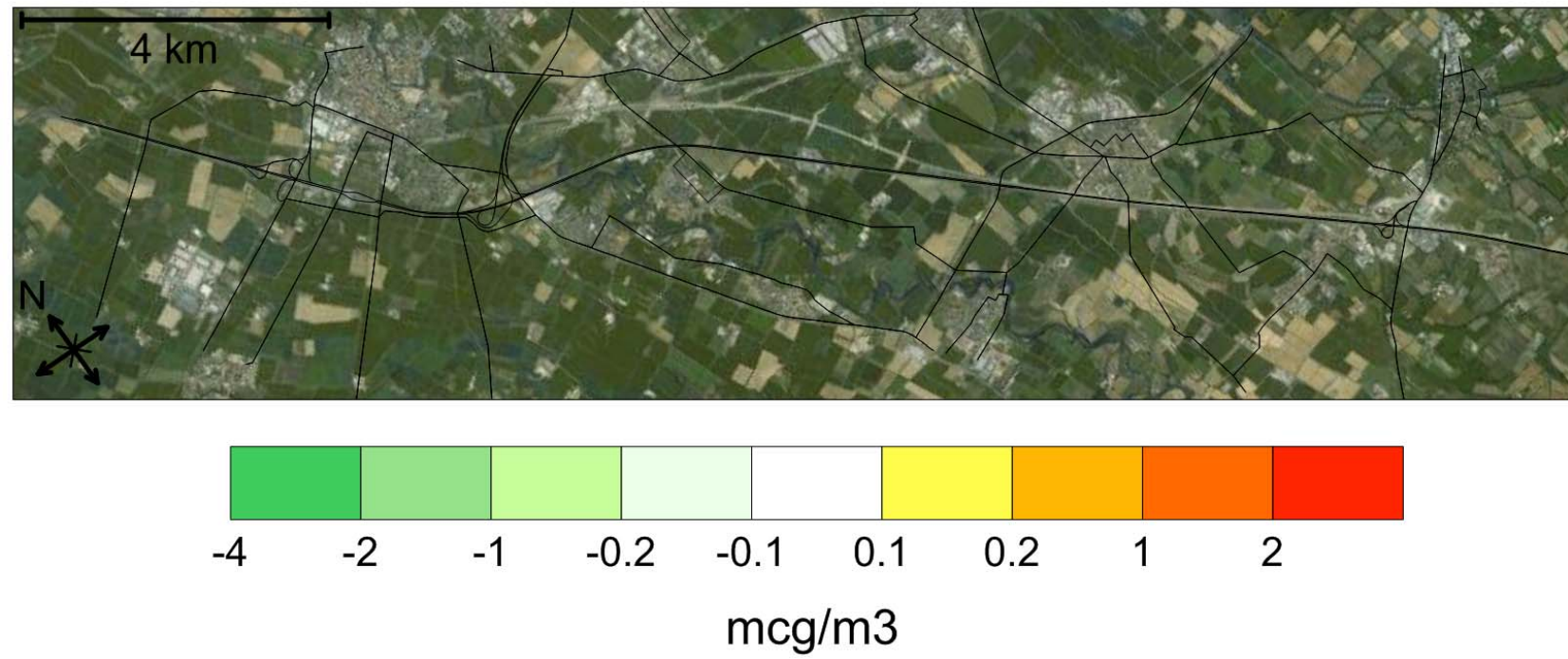


Figura 11: Differenza tra lo scenario progettuale 2015 e lo scenario programmatico 2015 della concentrazione media annuale di PM2.5, valori in [ $\mu\text{g}/\text{m}^3$ ].

### 1.3 Mappe Esposizione

Lista completa delle mappe di esposizione della popolazione, relativamente agli indicatori statistici normati per il NO<sub>2</sub>.

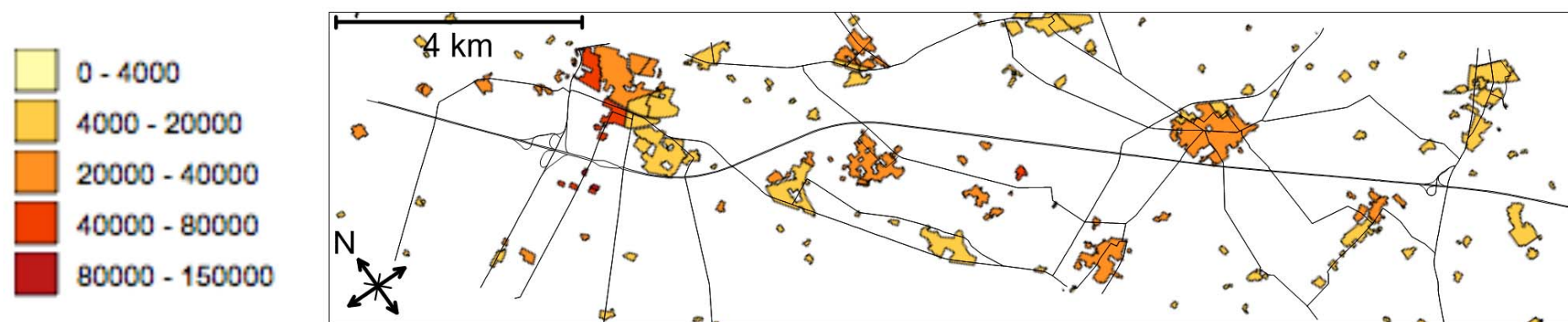


Figura 12: Mappa di esposizione della popolazione. Concentrazione media annuale di NO<sub>2</sub>, stato attuale ( $[\mu\text{g} / \text{m}^3] * [\text{abitanti} / \text{km}^2]$ ).



Figura 13: Mappa di esposizione della popolazione. Concentrazione media annuale di NO<sub>2</sub>, scenario programmatico 2015 ( $[\mu\text{g} / \text{m}^3] * [\text{abitanti} / \text{km}^2]$ ).



Figura 14: Mappa di esposizione della popolazione. Concentrazione media annuale di NO<sub>2</sub>, scenario progettuale 2015 ( $[\mu\text{g} / \text{m}^3] * [\text{abitanti} / \text{km}^2]$ ).

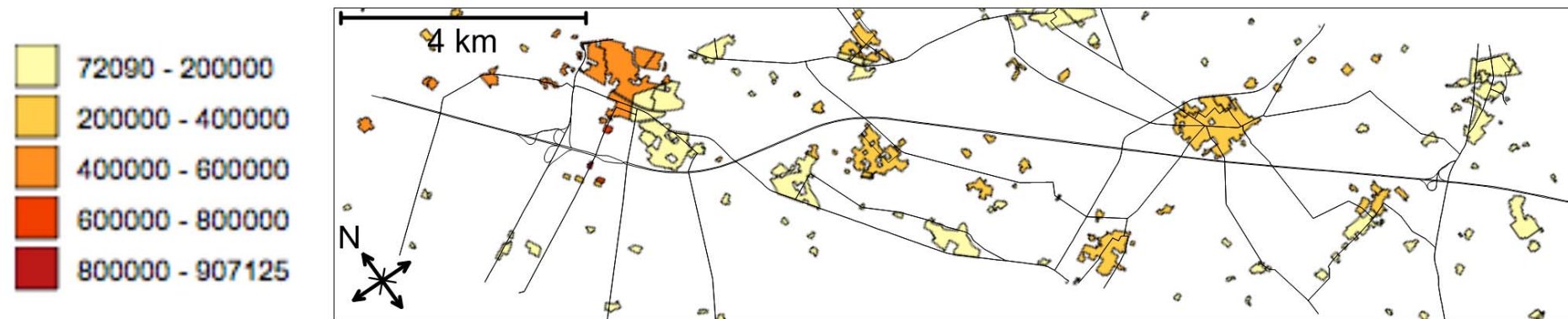


Figura 15: Mappa di esposizione della popolazione. 99.8° percentile della concentrazione oraria di NO<sub>2</sub>, scenario attuale ( $[\mu\text{g} / \text{m}^3] * [\text{abitanti} / \text{km}^2]$ ).

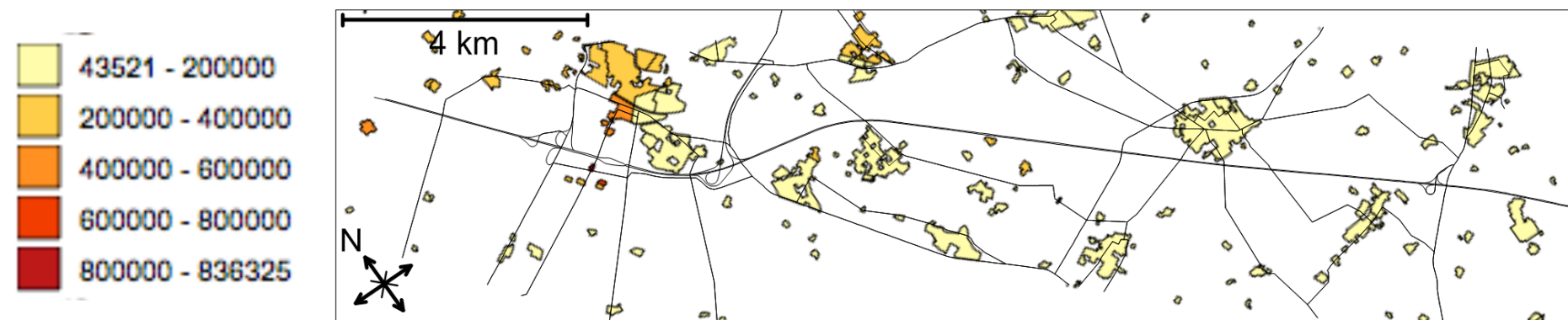


Figura 16: Mappa di esposizione della popolazione. 99.8° percentile della concentrazione oraria di NO<sub>2</sub>, scenario programmatico 2015 ( $[\mu\text{g} / \text{m}^3] * [\text{abitanti} / \text{km}^2]$ ).

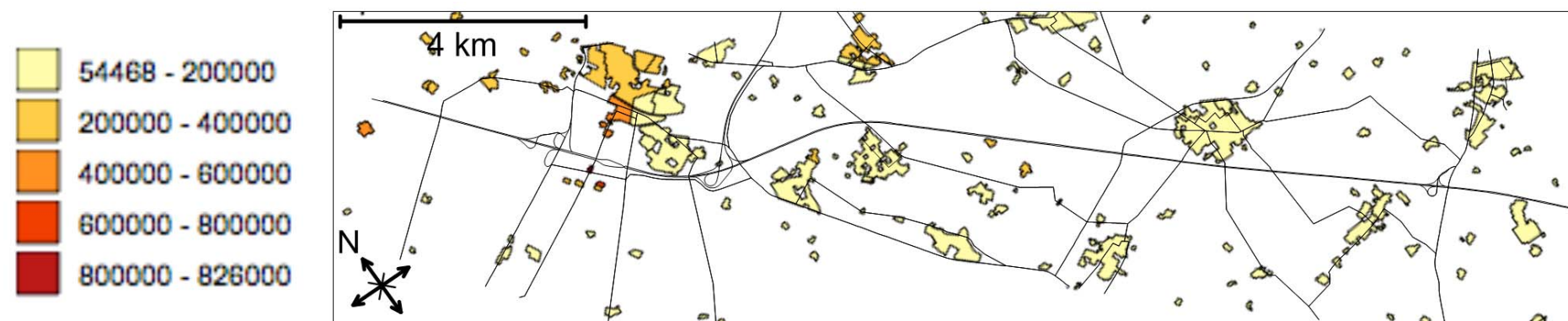


Figura 17: Mappa di esposizione della popolazione. 99.8° percentile della concentrazione oraria di NO<sub>2</sub>, scenario progettuale 2015 ( $[\mu\text{g} / \text{m}^3] * [\text{abitanti} / \text{km}^2]$ ).

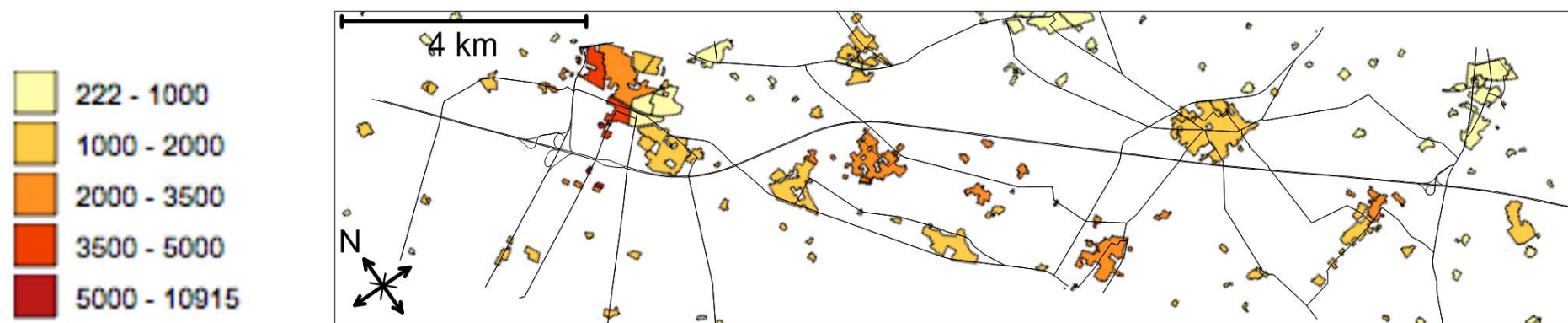


Figura 18: Mappa di esposizione della popolazione. Concentrazione media annuale di PM10, stato attuale ( $[\mu\text{g} / \text{m}^3] * [\text{abitanti} / \text{km}^2]$ ).

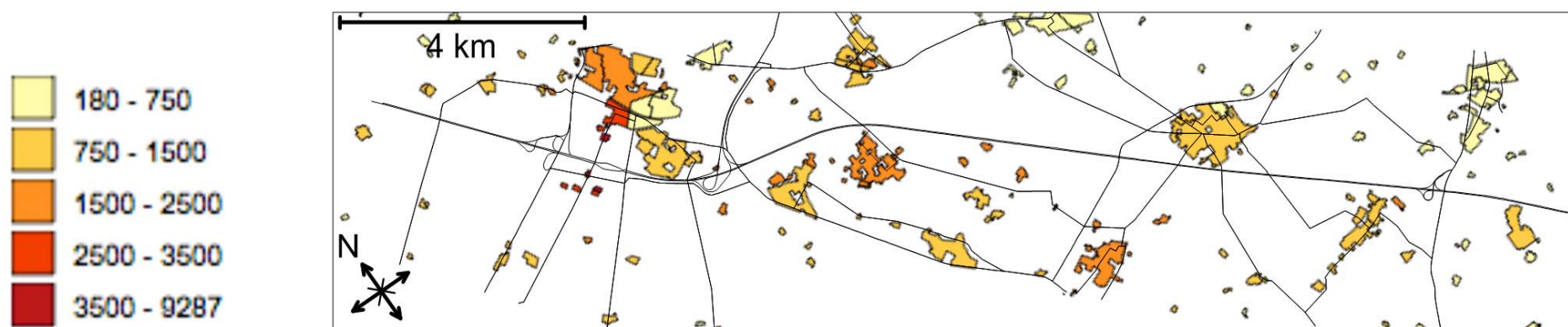


Figura 19: Mappa di esposizione della popolazione. Concentrazione media annuale di PM10, scenario programmatico 2015 ( $[\mu\text{g} / \text{m}^3] * [\text{abitanti} / \text{km}^2]$ ).



Figura 20: Mappa di esposizione della popolazione. Concentrazione media annuale di PM10, scenario progettuale 2015 ( $[\mu\text{g} / \text{m}^3] * [\text{abitanti} / \text{km}^2]$ ).

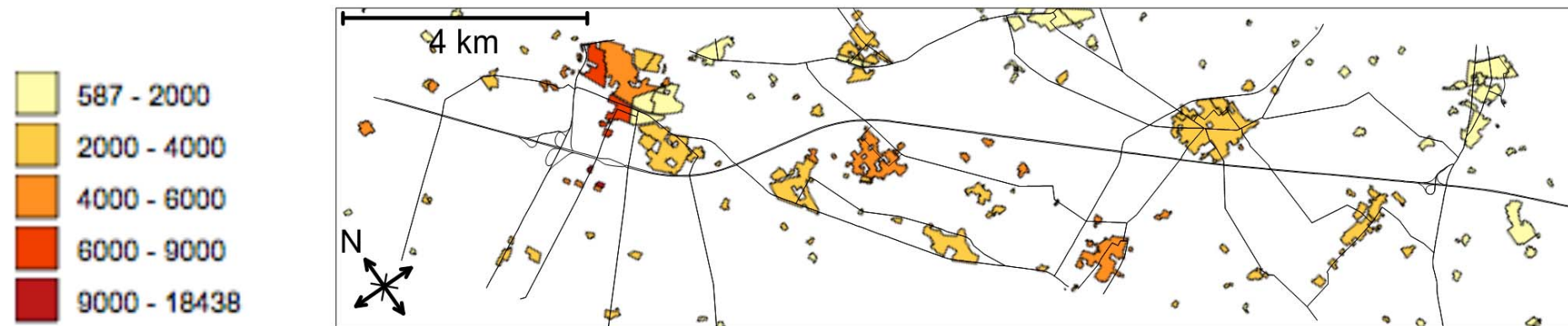


Figura 21: Mappa di esposizione della popolazione. 90.4° percentile della concentrazione media giornaliera di PM10, stato attuale ( $[\mu\text{g} / \text{m}^3] * [\text{abitanti} / \text{km}^2]$ ).

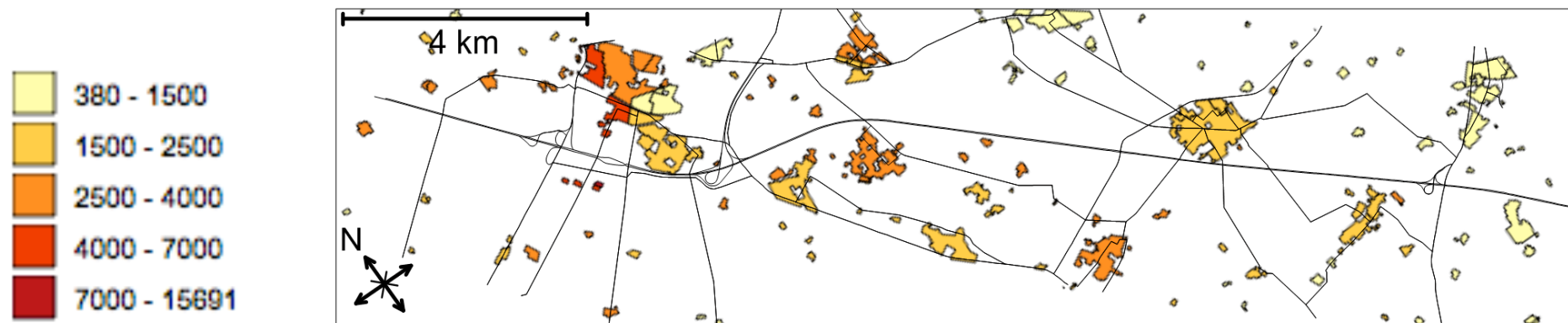


Figura 22: Mappa di esposizione della popolazione. 90.4° percentile della concentrazione media giornaliera di PM10, scenario programmatico 2015 ( $[\mu\text{g} / \text{m}^3] * [\text{abitanti} / \text{km}^2]$ ).

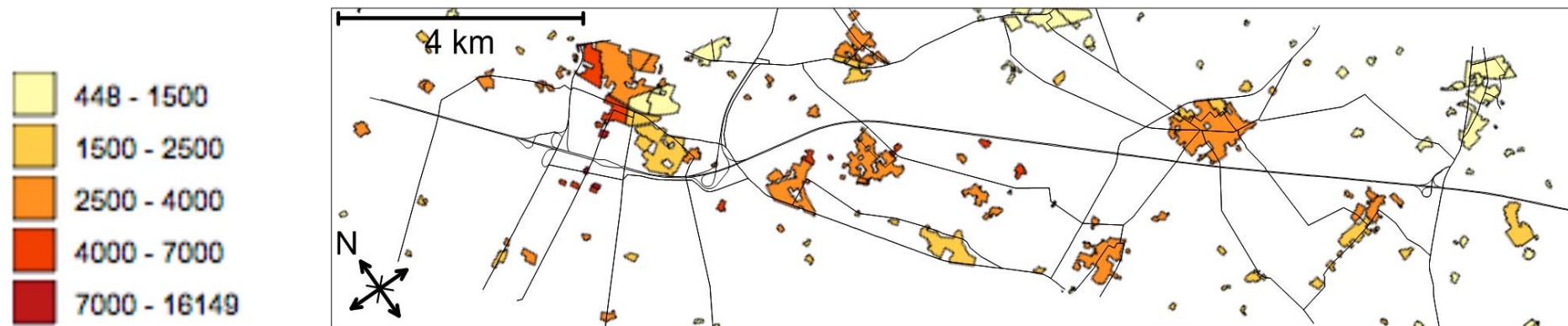


Figura 23: Mappa di esposizione della popolazione. 90.4° percentile della concentrazione media giornaliera di PM10, scenario progettuale 2015 ( $[\mu\text{g} / \text{m}^3] * [\text{abitanti} / \text{km}^2]$ ).

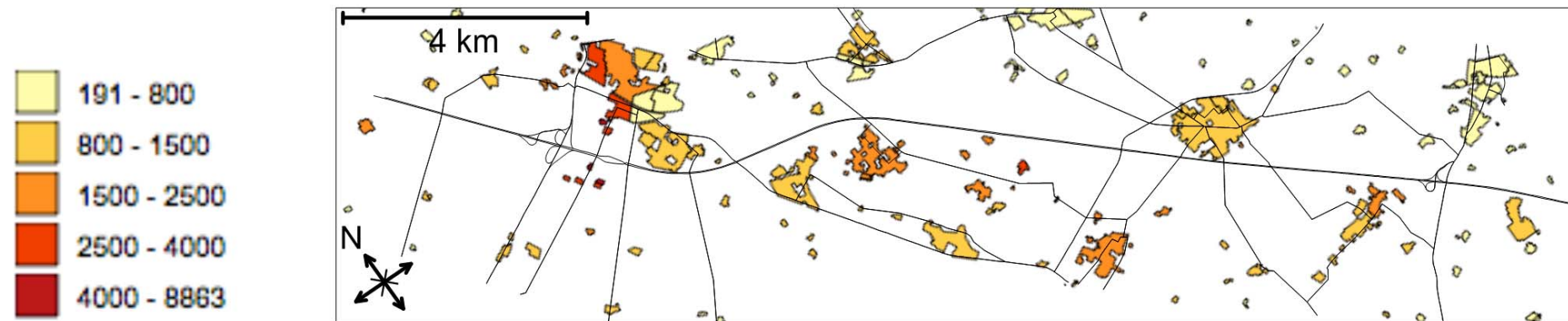


Figura 24: Mappa di esposizione della popolazione. Concentrazione media annuale di PM2.5, stato attuale ( $[\mu\text{g} / \text{m}^3] * [\text{abitanti} / \text{km}^2]$ ).

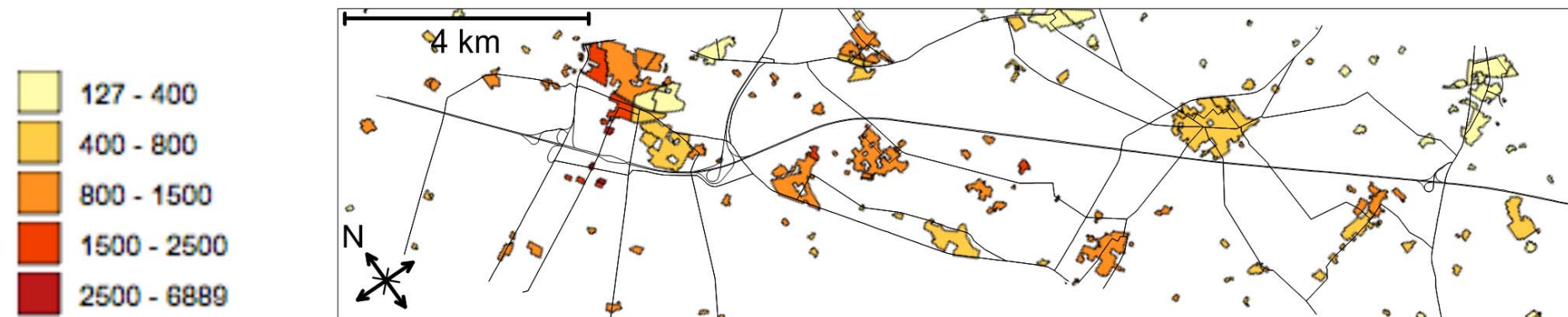


Figura 25: Mappa di esposizione della popolazione. Concentrazione media annuale di PM2.5, scenario programmatico 2015 ( $[\mu\text{g} / \text{m}^3] * [\text{abitanti} / \text{km}^2]$ ).

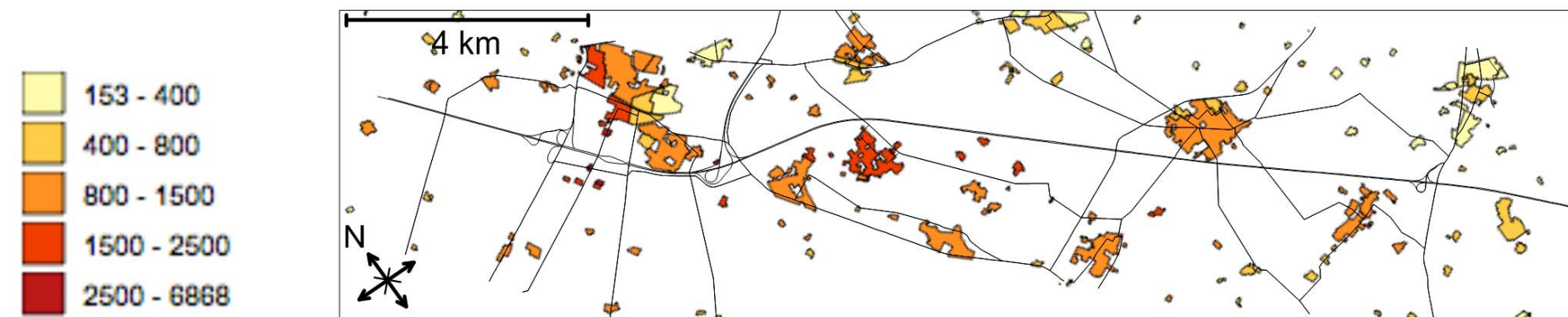


Figura 26: Mappa di esposizione della popolazione. Concentrazione media annuale di PM2.5, scenario progettuale 2015 ( $[\mu\text{g} / \text{m}^3] * [\text{abitanti} / \text{km}^2]$ ).